

# ECAP에 依한 Gyrator 特性解析과 改善

Analysis and Improvement of Gyrator Characteristics by ECAP

李 太 遠\*

(Rhee, Tae Weon)

## 要 約

能動 filter에 쓰에는 Gyrator를構成하여 그特性을 ECAP(Electronic Circuit Analysis Program)로써 解析하였고 그結果로 나타난問題點을 解決하고 特性을改善하기 위한措置로서 Collector側의抵抗을 높이기 위하여定電流電源回路를 利用하여 電源電壓을 즐이고 ECAP로써 解析하여 그措置가 正當함을 確認하였다.

## Abstract

ECAP(Electronic Circuit Analysis Program) is used for analysis of a gyrator network obtained by conventional approach. Thus obtained characteristics of the original network showed the necessity of some improvement. Modification of the network was made through DC Analysis of ECAP for improved behavior of gyrator, by the replacement of resistors in collector circuits with constant current source circuits, thus decreasing the required voltage of collector bias source voltage, and in turn, increasing collector resistances. The modified network was again analyzed through ECAP AC Analysis. The result justified the modification of networks and the utilization of a computer program for network analysis instead of a "breadboard" experiment.

## 序 論

1838年에 Scott가 그의論文<sup>1)</sup>에서高利得增幅回路의 feedback loop에 RC twin-T回路를利用함으로써增幅回路의周波數選擇性이높아짐을보여준 以後에 1948年에 Tellegen이受動非相反性을나타내는回路網素子로서 Gyrator의概念을發表하였다.<sup>2)</sup> 真空管이나 Transistor와 같은能動素子는 그自體가非相反性素子임으로 impedance反轉作用을나타내도록回路網을構成하면 Gyrator를만들수있다. 誘導素子가없는RC能動filter의能動素子로서負性impedance變換

周圍條件에對한安定度等의面에서從來의 LC filter의領域에까지到達하기어려웠으나半導體能動素子의發明에뒤이은集積回路의開發로因하여從前같으면能動素子의數가增加할때生기는價格과所要電力의問題가解消되어LC filter의長點을그대로살려서LC filter의L을Gyrator와C로바꿔놓은能動filter가急激하게注目的對象이되어Gyrator의實現方法filter에의應用等에關하여研究가進行되어왔다.

本論文에서는 Gyrator의實現方法을說明하고그特性을小形電子計算機에서使用할수있도록筆者가 modify한 ECAP AC analysis로써解析하고그特性改善을爲한措置를 ECAP DC Analysis로써取한 다음改善된回路를다시AC Analysis로써解析하여特性의改善을確認함으

\* 正會員, 中央大學校 工科大學 電子工學科.  
Electronics Dept., College of Engineering,  
Jung-ang Univ.

器와 演算增幅器가 쓰이게 되었는데 이러한 filter를 量產機器에서 使用할 때에는 素子值의 餘裕度,로써 그 構置의 正當함을 證明하였다.

### Gyrator의 構成

Gyrator의 Y-matrix는 다음 式과 같다.

$$\begin{pmatrix} i_1 \\ i_2 \end{pmatrix} = \begin{pmatrix} 0 & \pm G_1 \\ \mp G_2 & 0 \end{pmatrix} \begin{pmatrix} v_1 \\ v_2 \end{pmatrix} \quad (1)$$

이 式의 Y-matrix는 다음과 같이 分解될 수 있다.

$$\begin{pmatrix} 0 & G_1 \\ -G_2 & 0 \end{pmatrix} = \begin{pmatrix} 0 & G_1 \\ 0 & 0 \end{pmatrix} + \begin{pmatrix} 0 & 0 \\ -G_2 & 0 \end{pmatrix} \quad (2)$$

이 式의 右邊의 第1項은 逆相의 傳達 Conductance, 第2項은 正相의 傳達 Conductance를 뜻함으로 이

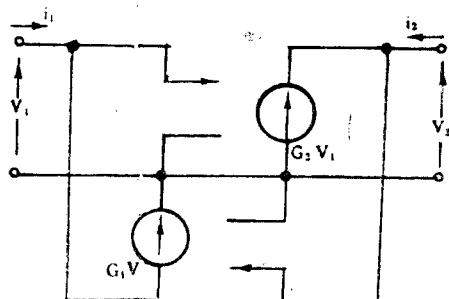


그림 1. Gyrator 等價回路  
Fig. 1. Eqvivalent circuit of gyrator

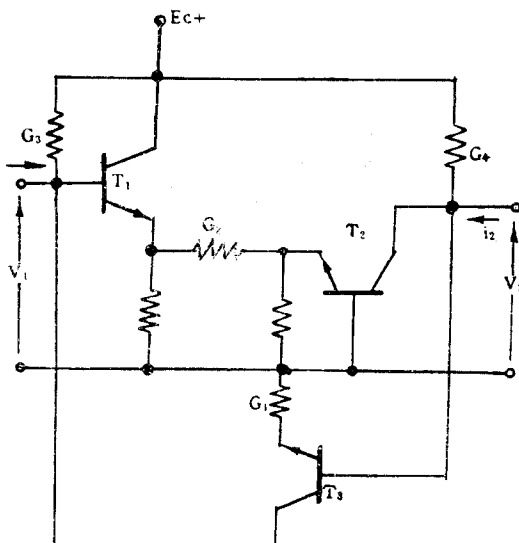


그림 2. Gyrator 基本回路  
Fig. 2. Basic circuit of gyator

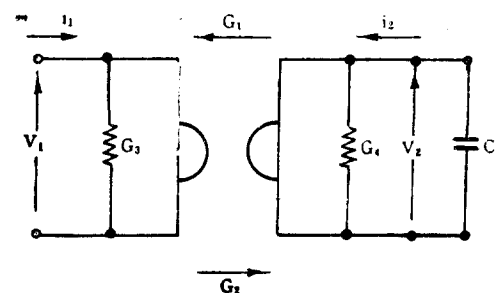


그림 3. C를 連結한 nonideal gyrator의 等價回路  
Fig. 3. Equivalent circuit of nonideal gyrator with C

式을 等價回路로 나타내면 그림 1과 같으며 그基本回路는 그림 2와 같다.

이 basic回路에서 transistor의  $h_{fe}$ 가 充分히 크다면 Y-matrix는 近似的으로 다음式과 같이 表示되며 나머지 素子들의 支配를 받지 않는다.

$$\begin{pmatrix} i_1 \\ i_2 \end{pmatrix} = \begin{pmatrix} G_3 & G_1 \\ -G_2 & G_4 \end{pmatrix} \begin{pmatrix} v_1 \\ v_2 \end{pmatrix} \quad (3)$$

이 回路의 出力端에 C를 連結할 때의 nonideal gyrator로서의 等價回路는 그림 3과 같이 되는데 入力端에서 본 入力 admittance  $y$ 는

$$\begin{aligned} \dot{Y}(p) &= G_3 + \frac{G_1 G_2}{pC(1 + \frac{G_4}{pC})} \\ &= \frac{4y}{G_4} \left[ \frac{\frac{G_3 pC}{4y} + 1}{\frac{pC}{G_4} + 1} \right] \end{aligned} \quad (4)$$

但  $4y = G_1 G_2 + G_3 G_4$

$$\dot{Z}(p) = \frac{G_4}{4y} \left[ \frac{1 + \frac{p}{w_2}}{1 + \frac{p}{w_1}} \right] \quad (5)$$

여기서  $w_1 = 4y/G_3C$

$$w_2 = G_4/C$$

$p = jw$  を 代入하고

$$\dot{Z}(jw) = R_{eq}(jw) + jwL_{eq}(jw) \quad (6)$$

라고 놓으면

$$R_{eq} = \frac{G_4}{4y} \left[ \frac{1 + \frac{w^2}{w_1 w_2}}{1 + \frac{w^2}{w_1^2}} \right] \quad (7)$$

$$L_{eq} = -\frac{G_4}{4y} \left[ \frac{\frac{1}{w_2} - \frac{1}{w_1}}{1 + \frac{w^2}{w_1^2}} \right] \quad (8)$$

따라서

$$Q(w) = \frac{wL_{eq}}{R_{eq}} = w \left[ \frac{\frac{1}{w_2} - \frac{1}{w_1}}{1 + \frac{w^2}{w_1 w_2}} \right] \quad (9)$$

$G_1, G_2 \gg G_3, G_4$  일 때 이 회로의 최대  $Q$ 는

$$Q_{max} = \frac{w_1 - w_2}{2\sqrt{w_1 w_2}} = \frac{G_1 G_2}{2\sqrt{G_3 G_4} d} \\ \doteq \frac{1}{2} \sqrt{\frac{G_1 G_2}{G_3 G_4}} \quad (10)$$

그림 2에서 알 수 있는 바와 같이 Gyrator는 negative feedback amplifier 인데 式 (10)에서  $G_1 G_2 / G_3 G_4$ 는兩端開放 loop 利得이며  $Q_{max}$ 는 loop 利得의 平方根에 比例하고 理想的인 Gyrator는兩端을開放하면 利得이 無限大인 negative

feedback amplifier 가 된다.  $Q_{max}$ 는 傳達 conductance 를 만드는 transistor의 collector bias 抵抗에 依해서 制限을 받으므로 이抵抗의 값은 可能한限度에서 크게 잡아야 한다.

### Gyrator의 實現 및 ECAP 解析

그림 2의 基本回路에 立脚하여 Gyrator를 實現한 例가 그림 4의 回路이다. 이것은 B. A. Shenoi<sup>3)</sup>가 考案한 回路의 正相部分과 逆相部分을 서로 바꾼 回路를 試驗的으로 利用하였다.

그림에서  $T_1$ 과  $T_2$ 는 正相의 傳達 conductance 를 擔當하는 transistor로서 Emitter-follower 와 Common base 接續이 되어 있다. 그림의 回路에서  $T_2$ 와  $T_3$ 의 collector 回路의抵抗을 크게 하면

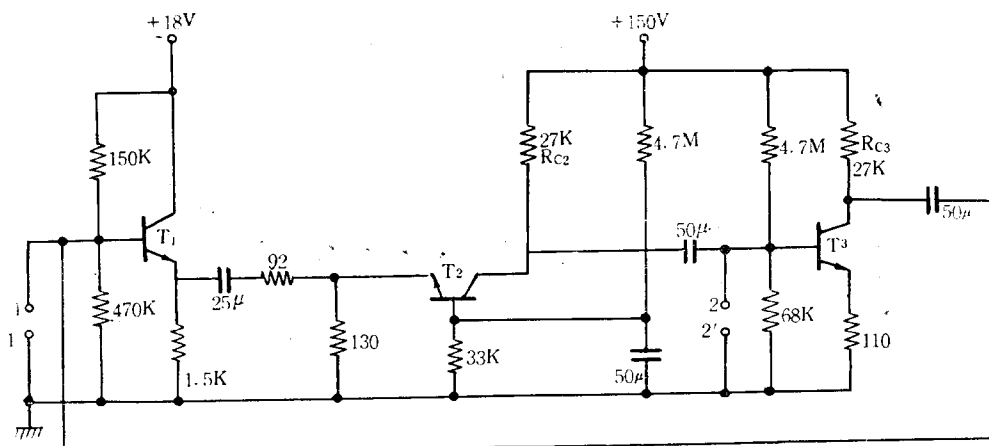


그림 4. Gyrator 回路  
Fig. 4. Gyrator circuit

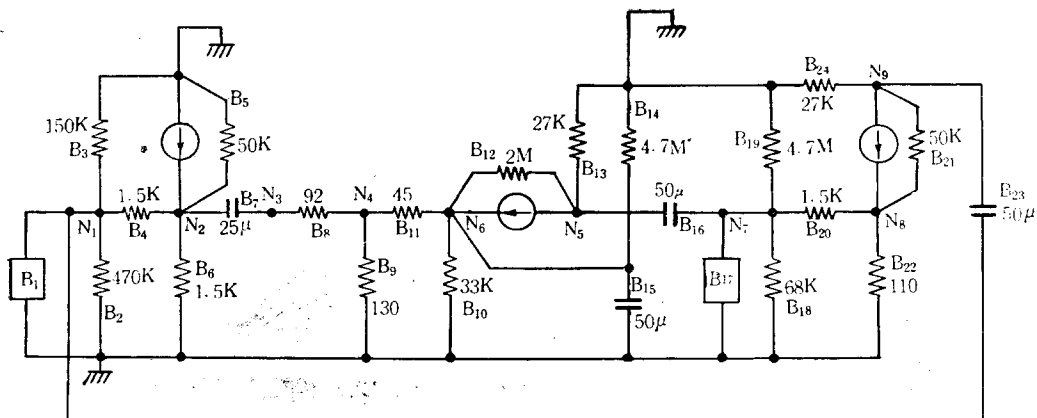


그림 5. ECAP를 위한 等價回路  
Fig. 5. Equivalent circuit of Gyrator for ECAP AC Analysis

Bra-nch JOB	B <sub>1</sub>	B <sub>17</sub>
# 1	R=0.01, E=1/0	C=15E-8
# 2	R=0.01, E=1/0	R=0.01
# 3	R=0.01, E=1/0	R=3E7
# 4	C=15E-8	R=0.01, E=1/0
# 5	R=0.01	R=0.01, E=1/0
# 6	R=3E7	R=0.01, E=1/0

```

// JOB
LOG DRIVE   CART SPEC   CART AVAIL   PHY DRIVE
 0000       1001      1001       0000
V2 MOP ACTUAL BK CONFIG AX
#LOCAL ECA01, ECA02, ECA03, ECA04, ECA05, ECA06, ECA07, ECA08,
#LOCAL ECA40, ECA41, ECA42, ECA43, ECA44, ECA45, ECA46, ECA47,
#LOCAL ECA48, ECA49, ECA50, ECA51, ECA52, ECA53, ECA54
AC ANALYSIS
S1  N(0,1),R=0.001,E=1/0
S2  N(1,0),R=47E4
S3  N(0,1),R=15E4
S4  N(1,2),R=15E0
S5  N(0,2),R=5E4
S6  N(2,0),R=1.5E3
S7  N(2,3),C=2E-6
S8  N(3,4),R=92
S9  N(4,0),R=13E0
S10 N(6,0),R=33E3
S11 N(4,6),R=4E5
S12 N(5,6),R=2E6
S13 N(0,5),R=27E3
S14 N(0,6),R=47E3
S15 N(6,0),C=5E-5
S16 N(5,7),C=5E-5
S17 N(7,0),C=1E-8
S18 N(7,0),R=6E83
S19 N(0,7),R=7E9
S20 N(7,8),R=1500
S21 N(9,8),R=5E4
S22 N(8,0),R=11E0
S23 N(9,1),C=5E-5
S24 N(0,9),R=27E3
T1  B(4,6),BETA=200
T2  B(11,12),BETA=0.995
T3  B(20,21),BETA=200
FREQUENCY=4E3
PRINT,RA,RV
MODIFY
FREQUENCY=6E2{1.5:32E3
EXECUTE
END

```

그림 6. ECAP 입력 List

Fig. 6. ECAP Input List for AC Analysis

$Q$ 가 높아지지만 collector電流가減少하여許容信號振幅이 줄어드는것을 막기 위해서  $T_2$ ,  $T_3$ 의 collector供給電壓을 150V라는 transistor回路로서는 높은 값을 잡아놓았다. 이 Gyrator回路의特性을 解析하기 위한 ECAP의 AC analysis에適用할 수 있도록 만든 等價回路가 그림 5이다. 그림 4의 1-1'과 2-2'가 等價回路에서 각각  $B_1$ 과  $B_{17}$ 의 두개의 branch로 나타나 있다.

全體 branch의 個數는 24이며 이回路網의 特

性을 解析하기 위하여 入力 및 出力, 即  $B_1$ 과  $B_{17}$ 의 定數를 바꿔가면서 6個의 JOB를 遂行하였다. 이中에서 代表的으로 JOB #1의 Input List를 그림 6에 보였다.

2-2'의 端子에  $0.15\mu F$ 의  $C$ 를 連結하였을 때의 1-1'에서 본 Admittance를 JOB #1에서 求하였다. 이때의 周波數는 0.6KHz에서 32KHz의範圍에서 公比가 1.5인 等比級數가 되게 取하였는데 代表的으로 9.4KHz 때의 各 branch 電壓과 電流值가 그림 7의 Output List에 나와있다. 出力端(2-2')에  $C(0.15\mu F)$ 를 連結하였을 때 入力端에서 본 admittance는

$$\hat{y}_L = 0.654033292 \times 10^{-2} \angle -88.441681^\circ \quad (mho) \quad (11)$$

實現된 Gyrator回路의 方程式이

$$\begin{pmatrix} i_1 \\ i_2 \end{pmatrix} = \begin{pmatrix} G_{11} & G_{12} \\ -G_{21} & G_{22} \end{pmatrix} \begin{pmatrix} v_1 \\ v_2 \end{pmatrix} \quad (12)$$

라면 JOB #2에서

$$G_{22} = \frac{i_2}{v_2} \Big|_{v_1=0} = \frac{0.91276759 \times 10^{-4}}{0.99995136} \approx 0.913 \times 10^{-4} \text{(mho)} \quad (13)$$

$$G_{12} = \frac{i_1}{v_2} \Big|_{v_1=0} = \frac{0.8990591 \times 10^{-2}}{0.99995136} \approx 0.899 \times 10^{-2} \text{(mho)} \quad (14)$$

JOB #5에 依해서

$$G_{11} = \frac{i_1}{v_1} \Big|_{v_1=0} = \frac{0.91605194 \times 10^{-4}}{0.99995422} \approx -0.916 \times 10^{-4} \text{(mho)} \quad (15)$$

$$G_{21} = \frac{i_2}{v_1} \Big|_{v_1=0} = \frac{-0.89705503 \times 10^{-2}}{0.99995422} \approx -0.897 \times 10^{-2} \text{(mho)} \quad (16)$$

出力端子를 開放했을 때의 入力 admittance는 JOB #3에 依해서

$$G_i = \frac{i_1}{v_1} \Big|_{i_2=0} = \frac{0.56485641}{0.71757209} \approx 0.787 \text{(mho)} \quad (17)$$

入力端子를 開放하고 出力端子에서 본 admittance는 JOB #6에 依해서

$$G_0 = \frac{i_2}{v_2} \Big|_{i_1=0} = \frac{0.54832309}{0.69989257} \approx 0.783 \quad (18)$$

이 Gyrator回路가 나타낼 수 있는 最大  $Q$ 는 式 (10)을 利用하면

BRANCHES		BRANCH CURRENTS					
MAG	I-4	6.65403523E-02	0.31271797E-05	0.17951006E-05	0.17972152E-04		
PNA		-0.68441501E-02	0.19231349E-02	0.17931250E-03	0.49161265E-03		
MAG	5-8	0.18720116E-02	0.31307500E-03	0.09650174E-02	0.90852622E-03		
PNA		0.46114100E-02	0.13650465E-03	0.51103400E-03	0.51543533E-03		
MAG	3-12	0.18024200E-02	0.13236210E-03	0.51820500E-02	0.61704932E-02		
PNA		0.51466377E-02	0.11172774E-02	0.51508162E-03	-0.17958074E-02		
MAG	17-18	0.27023779E-04	0.63124074E-11	0.12375274E-04	0.61780344E-03		
PNA		0.30391521E-02	0.88327072E-02	-0.11729150E-01	0.700201168E-03		
MAG	17-20	0.61705298E-02	0.16807830E-04	0.1550770605E-03	0.17025619E-04		
PNA		0.30237334E-02	-0.33307614E-02	0.30322232E-02	-0.29004501E-02		
MAG	21-24	0.654068330E-02	0.55537633E-02	0.155413203E-02	0.37114607E-04		
PNA		-0.89006851E-02	-0.30006820E-02	0.61530032E-02	-0.17000037E-03		
BRANCHES		BRANCH VOLTAGES					
MAG	I-4	0.93991643E-00	0.93991643E-00	0.93991643E-00	0.87320784E-02		
PNA		-0.17981250E-03	0.18731340E-00	-0.17981250E-03	0.49161255E-00		
MAG	5-8	0.93117758E-00	0.93117758E-00	0.57193525E-02	0.71324677E-03		
PNA		-0.17981518E-03	0.18463045E-00	-0.30488801E-02	0.51543533E-00		
MAG	3-12	0.24731463E-00	0.43768665E-05	0.24731475E-00	0.72005792E-03		
PNA		0.514660763E-00	-0.31172744E-02	0.51508102E-00	-0.89008270E-02		
MAG	17-18	0.72964203E-00	0.437686605E-05	0.52798605E-05	0.21322038E-02		
PNA		0.30391531E-02	0.88327072E-02	-0.31172744E-02	-0.89230041E-02		
MAG	17-20	0.72745990E-00	0.72745990E-00	0.72745990E-00	0.65479111E-02		
PNA		-0.89007614E-02	-0.30007614E-02	0.30002220E-02	-0.89004520E-02		
MAG	21-24	0.12263445E-02	0.72091109E-00	0.23135221E-02	0.10022200E-01		
PNA		0.303915742E-02	-0.30006820E-02	0.13301051E-01	-0.17980037E-03		

그림 7. ECAP 出力 List  
Fig. 7. ECAP Output List for JOB #1

$$Q_{max} = \frac{1}{2} \sqrt{\frac{0.899 \times 10^{-2} \times 0.897 \times 10^{-2}}{0.916 \times 10^{-4} \times 0.913 \times 10^{-4}}} \quad (19)$$

$\approx 49.1$

그런데 ECAP Analysis에 依한  $Q$ 는 式 (11)에서 35.9이며 等價的인 Inductance는

$$L_{eq} = 2.7(\text{mH}) \quad (20)$$

### 回路의 改善

前節에서 取扱한 回路는 다음의 問題點을 지나고 있다. 即

- i) Collector 供給電壓이 150V로서 지나치게 높다.
- ii) Gyrorator의 Y-matrix의 對稱成分인  $G_{11}$ 과

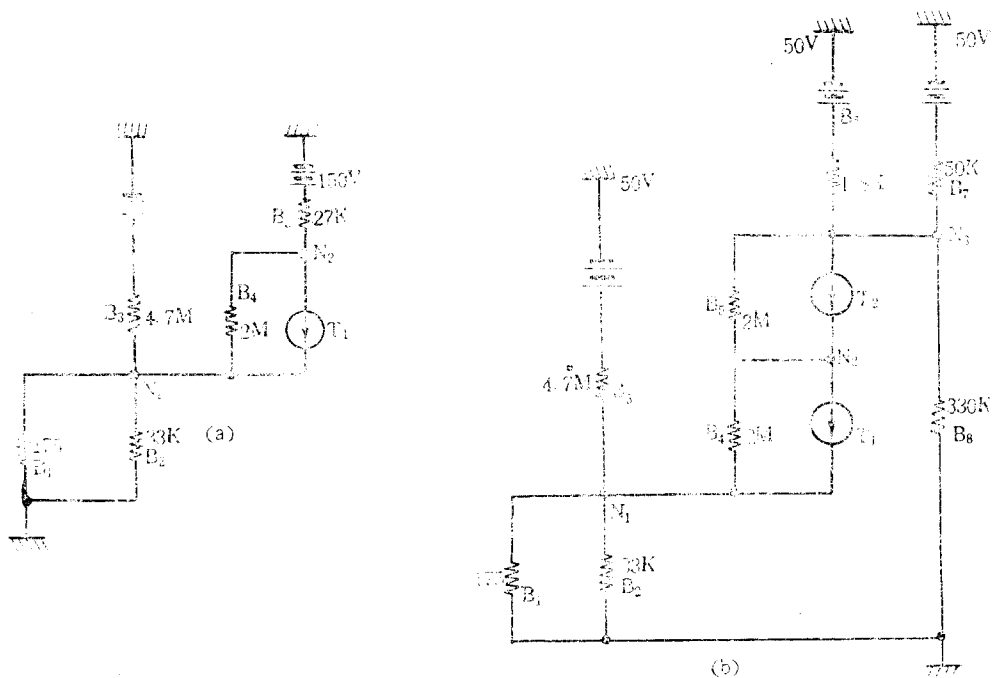


그림 8. ECAP 依 DC Analysis 用 等價回路(第2段)  
Fig. 8. Equivalent circuit for ECAP DC Analysis (2nd stage)

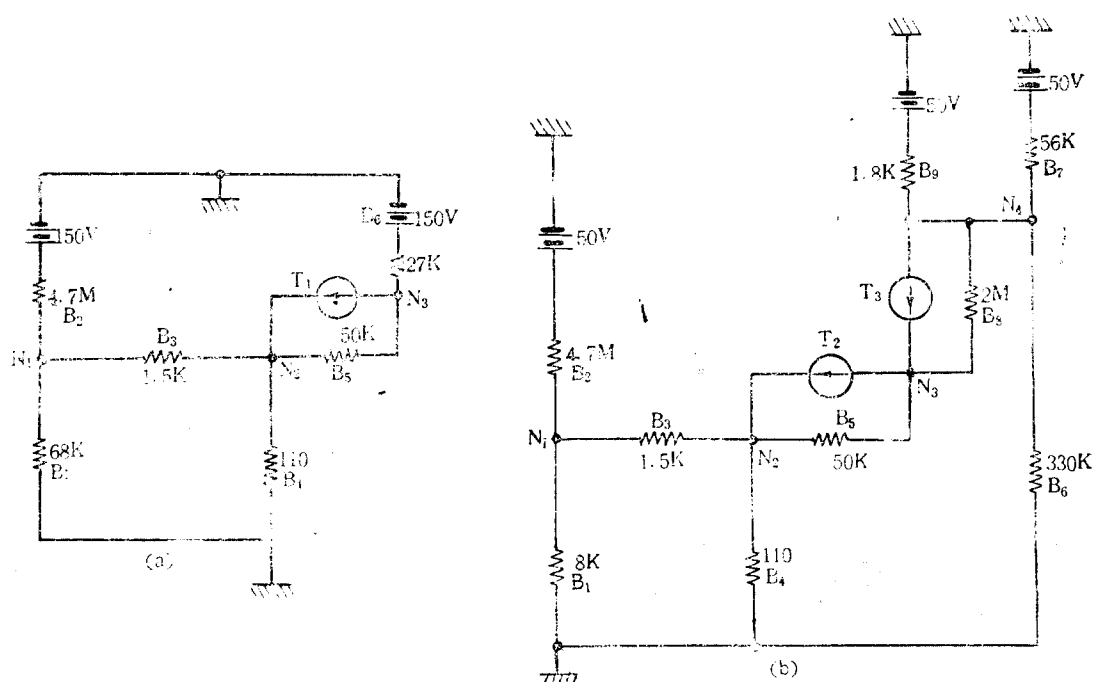


그림 9. 第3段의 DC Analysis 用 等價回路  
Fig. 9. DC Analysis equivalent circuit for the 3rd stage

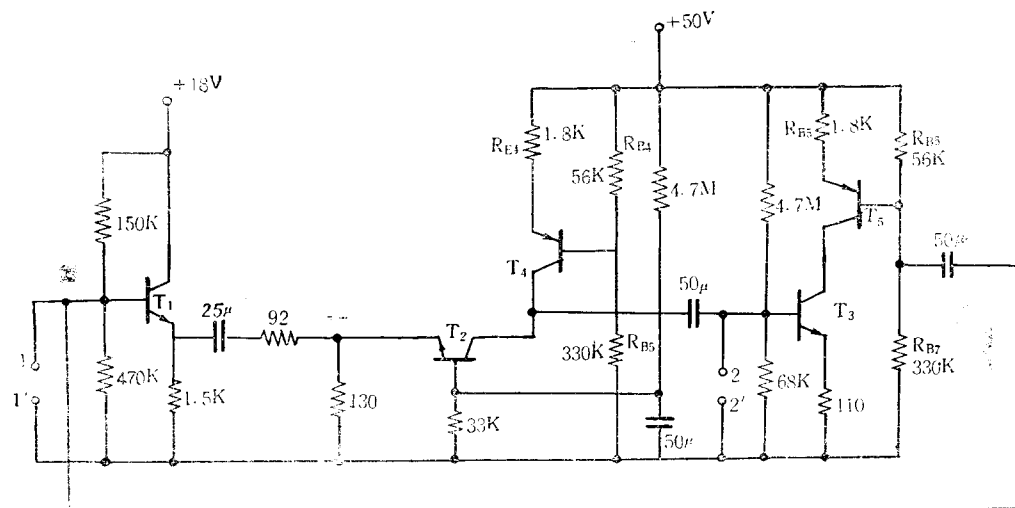


그림 10. 改善回路  
Fig. 10. Improved Circuit

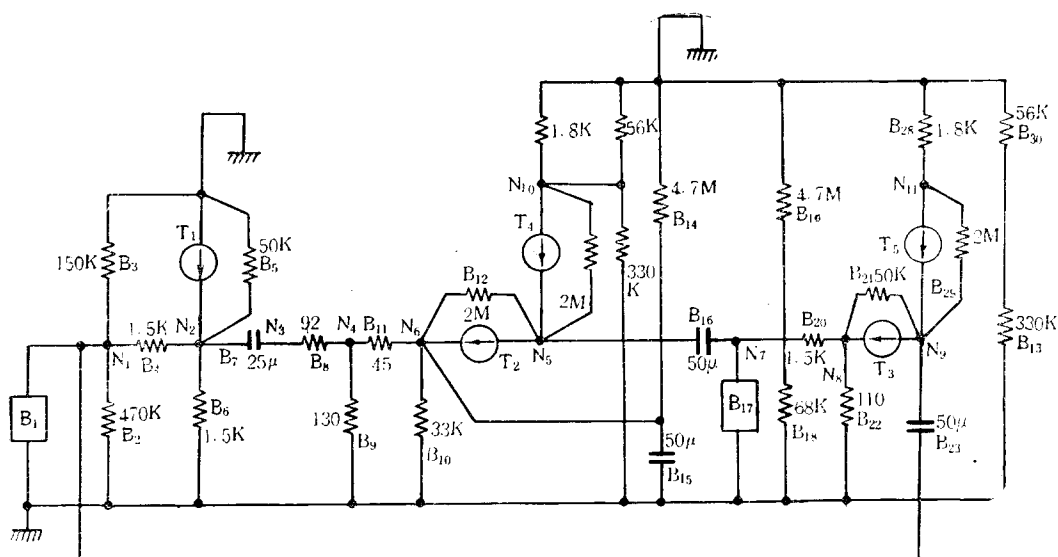


그림 11. 그림 10의 等價回路  
Fig. 11. Equivalent circuit of Fig. 10

우선 그림 4의 第2段의 Common-base 增幅段을 DC Analysis에 適合하도록 等價回路를 그린 것이 그림 8(a)이고 [collector]의 27KΩ를 定電流電源回路로 置換하여 놓은 것이 그림 8(b)이다. 이 回路에서의 Node番號와 Branch番號는 그림 5와는 別途의 것이다. 그림 8(a)의 N<sub>1</sub>과 N<sub>2</sub>와 (b)의 N<sub>1</sub>과 N<sub>2</sub>의 電壓이 서로 같게 되도록

(b)의 B<sub>5</sub>, B<sub>6</sub>, B<sub>7</sub>, B<sub>8</sub> 그리고 T<sub>2</sub>의  $h_{fb}$ 의 最適值를 Modify 技法으로 찾아 낸것이 그림 10에 나타난 定數值 即  $R_{E4}=1.8\text{K}\Omega$ ,  $R_{B4}=56\text{K}\Omega$ ,  $R_{B5}=$  계하고서 ECAP DC Analysis의 parameter modification 技法을 使用하여 그 定電流回路의 定數를 決定하였다.  $G_{22}$ 가  $G_{12}$ 나  $G_{21}$ 에 比해서 더욱 減少되어야 한다.

그림 4의 第3段인 Common-emitter 增巾段의 DC Analysis 用 等價回路가 그림 9의 (a)이며 이段의 collector 의  $27K\Omega$  을 定電流回路로 置換한後의 等價回路가 그림 9(b)이다. 이 두回路에서 먼저와 같은 技法으로  $N_1$ ,  $N_2$ ,  $N_3$ 의 電壓配定이 서로 같도록 그림 9(b)의  $B_6$ ,  $B_7$ ,  $B_8$ ,  $B_9$  및  $T_3$ 의

$$G_{11} = \frac{i_1}{v_1} \Big|_{v_1=0} = \frac{0.55168668 \times 10^{-4}}{0.99997258} \\ \approx 0.552 \times 10^{-4} (\text{mho}) \quad (23)$$

$$G_{21} = \frac{i_2}{v_1} \Big|_{\nu=0} = -\frac{0.88637757 \times 10^{-2}}{0.99997258} \\ = -0.88637757 \times 10^{-2} \text{ (approx.)} \quad (24)$$

$$G_i = \frac{i_1}{v_1} \Big|_{i_1=0} = \frac{0.90273142}{0.54864430} \approx 1.64 \text{ (mho)} \quad (25)$$

$$G_0 = \frac{i_2}{v_2} = \frac{0.10188825 \times 10^4}{0.49102169} \hat{=} 2.06 \text{ (mho)} \quad (26)$$

그리고 9.4KHz에서 出力端에  $0.15\mu F$ 의  $C$ 를  
連結하였을때의 入力 admittance는

$$\begin{aligned} \dot{y}_L &= 0.43580550 \times 10^{-2} \\ \angle &= -89.150497^\circ \text{ (mho)} \end{aligned} \quad (27)$$

따라서 等價的 inductance 는

$$L_{\text{ext}} \equiv 4.0(\text{mH}) \quad (28)$$

二三

$\theta = 57^\circ 3'$

이回路에서의 最大  $Q$  는

$$Q_{max} = \frac{1}{2} \sqrt{\frac{0.891 \times 10^{-2} \times 0.886 \times 10^{-2}}{0.608 \times 10^{-4} \times 0.552 \times 10^{-4}}}$$

그림 12. ECAP 入力 List  
Fig. 12 ECAP Input List

BRANCHES		BRANCH CURRENTS			
MAG	1-4	0.63580550E-02	0.21753500E-05	0.96684600E-03	0.37473473E-03
PHA		-0.89150497E-02	0.12833315E-05	0.13378760E-03	0.93321620E-03
MAG	5-8	0.87293229E-02	0.56003160E-05	0.10003192E-03	0.86657923E-03
PHA		0.35140208E-02	0.12301507E-05	0.3434031807E-03	0.41615450E-03
MAG	8-12	0.119025392E-02	0.86588310E-05	0.16101600E-03	0.11718620E-03
PHA		0.158305077E-02	0.136777815E-05	0.24212070E-03	0.20033330E-03
MAG	13-16	0.70003123E-02	0.90014000E-05	0.18378010E-03	0.111701620E-03
PHA		0.12523867E-02	0.30264705E-05	0.74273010E-03	0.18671540E-03
MAG	17-20	0.51700444E-02	0.71529037E-05	0.10318271E-03	0.197545600E-03
PHA		0.142542743E-02	0.10303469E-05	0.30500100E-03	0.34528540E-03
MAG	21-24	0.43605417E-02	0.96893610E-02	0.15505010E-03	0.13501100E-03
PHA		-0.80562477E-02	0.35503387E-02	0.36010100E-03	0.37473473E-03
MAG	25-28	0.12920836E-02	0.13324631E-02	0.13710580E-02	0.22167172E-03
PHA		0.30431812E-02	0.10000000E-02	0.10000000E-02	0.10000000E-03
MAG	29-30	0.26551061E-02	0.23427337E-02		
PHA		-0.17987457E-02	-0.17327457E-02		
BRANCHES		BRANCH VOLTAGES			
MAG	1-4	0.99897007E-02	0.10000000E-02	0.10000000E-02	0.67397571E-02
PHA		0.117987457E-02	0.117987457E-02	0.117987457E-02	0.117987457E-02
MAG	5-8	0.65123037E-02	0.65123037E-02	0.38103000E-02	0.148301730E-02
PHA		-0.17987457E-02	-0.17987457E-02	-0.17987457E-02	-0.17987457E-02
MAG	9-12	0.24753610E-02	0.22167172E-02	0.12171540E-02	0.18641478E-02
PHA		0.34305377E-02	0.34305377E-02	0.12171540E-02	0.12171540E-02
MAG	13-16	0.23427337E-02	0.21753500E-02	0.26165217E-02	0.14547973E-02
PHA		0.117987457E-02	0.117987457E-02	0.117987457E-02	0.117987457E-02
MAG	17-20	0.48408237E-02	0.48408237E-02	0.48408237E-02	0.43353851E-02
PHA		-0.89504562E-02	-0.89504562E-02	0.193495254E-02	-0.186037605E-02
MAG	21-24	0.11075887E-01	0.11075887E-01	0.10277447E-02	0.11384864E-02
PHA		0.25310455E-02	-0.89503387E-02	0.51375854E-02	0.20036813E-02
MAG	25-28	0.48529363E-02	0.11384864E-02	0.11384864E-02	0.23427336E-02
PHA		0.905044612E-02	0.905044612E-02	-0.89505005E-02	-0.17987457E-02
MAG	29-30	0.39805495E-02	0.23427330E-02		
PHA		-0.17987457E-02	-0.17987457E-02		

그림 13. ECAP 出力 List  
Fig. 13. ECAP Output List

	$G_{11}$	$G_{12}$	$-G_{21}$	$G_{22}$	$G_t$	$G_0$	$Q$	$L_{eq}(mH)$
原回路	$0.916 \times 10^{-4}$	$0.899 \times 10^{-2}$	$0.397 \times 10^{-2}$	$0.913 \times 10^{-4}$	0.787	0.783	35.9	2.7
改善回路	$0.552 \times 10^{-4}$	$0.891 \times 10^{-2}$	$0.886 \times 10^{-2}$	$0.603 \times 10^{-4}$	1.64	2.06	57.2	4.0

=78.1

(29)

### 檢 討

지금까지의 部次에서 나타난 여러 數値을 原回路와 改善回路에 對해서 比較하여 보면 다음의 表와 같다.

Gyrator에서 볼 수 있는데로 작을수록 有利한 diagonal element인  $G_{11}$ 과  $G_{22}$ 가 改善後에는 거의 切半으로 減少되었으나 off-diagonal element인  $G_{12}$ 와  $G_{21}$ 의 値은 增加하지 않았고 특히  $G_{21}$ 의 크기는 1.2%라는 적은 增加기는 하지만 減少하였다. 第2 및 第3段의 Collector供給電壓을 150V에서 50V로 減少시킬 수 있었는데 Collector回路에 代置한 定電流回路의 抵抗值의 最適值決定은 ECAP를 利用하여도 相當히 時間을 要하는 作業이었다.

Gyrator回路特性은 改善되었으나 transistor의 個數가 增加한다는 問題는 transistor의 價格이 다른 素子에 比해서 저렴하여 了고 더구나 回路의 集積化로서 解決된다.

### 結 論

Transistor의 數를 더욱 增加시키면 Gyrator의 特性을 改善할 수 있겠으나 ECAP가 取扱할 수 있는 回路의 branch數에 制限이 있다. 3 KWord의 主記憶容量을 가진 小形電子計算機에

서 使用할 수 있도록 筆者が Modify 한 ECAP의 取扱可能 branch數가 35個인데 本論文에서는 그 數가 30個이며 ECAP의 DC 및 AC Analysis로써 改善 및 解析한 本論文의 改善回路에서 改善前의 回路에 比하여 Gyrator特性에 有害한 diagonal element가 半減되고 Q는 59%가 增加하고 collector供給電壓을  $\frac{1}{3}$ 로 減少시킬 수 있었다. 大量의 modification을 通하여 實際回路에 依한 實驗보다는 越等히 短은 時間에 結果를 얻었고 이 Gyrator가 흔히 使用하는 回路가 아니므로 實驗에서 生길 수 있는 部品의 破損이나 時間浪費를 輕減할 수 있었다.

### 參 考 文 獻

- 1) H. H. Scott, "A new type of selective circuit and some Application", Proc. IRE, 20, Feb, 1938, P. 226-235.
- 2) B. D. H. Tellegen, "The Gyrator, A new electric network element", Phillips Res. Rep., 3, April 1948, P. 81.
- 3) B. A. Shenoi, "Practical Realization of a Gyrator circuit and RC-Gyrator Filters", IEEE Trans. on Circuit Theory vol. CT-12 No. 3 Sept. 1965, p. 376.
- 4) IBM, "ECAP User's Manual", GH20-0170-2, IBM, April 1970, p. 73-93.